

บทที่ 4

ผลการวิจัย

บทนี้กล่าวถึงข้อมูลจากการทดลองตามแนวทางการศึกษาในบทที่ 3 เริ่มจากผลของอัตราไหลแก๊สออกซิเจนต่อโครงสร้างของฟิล์มบางเชอร์โโคเนียมออกไซด์ ผลของระบบห่างระหว่างปีสารเคลือบกับวัสดุรองรับต่อโครงสร้างของฟิล์มบางเชอร์โโคเนียมออกไซด์ ผลของความหนาต่อโครงสร้างของฟิล์มบางเชอร์โโคเนียมออกไซด์ และผลของความหนาต่อสมบัติทางแสงของฟิล์มบางเชอร์โโคเนียมออกไซด์ ซึ่งมีรายละเอียดดังนี้

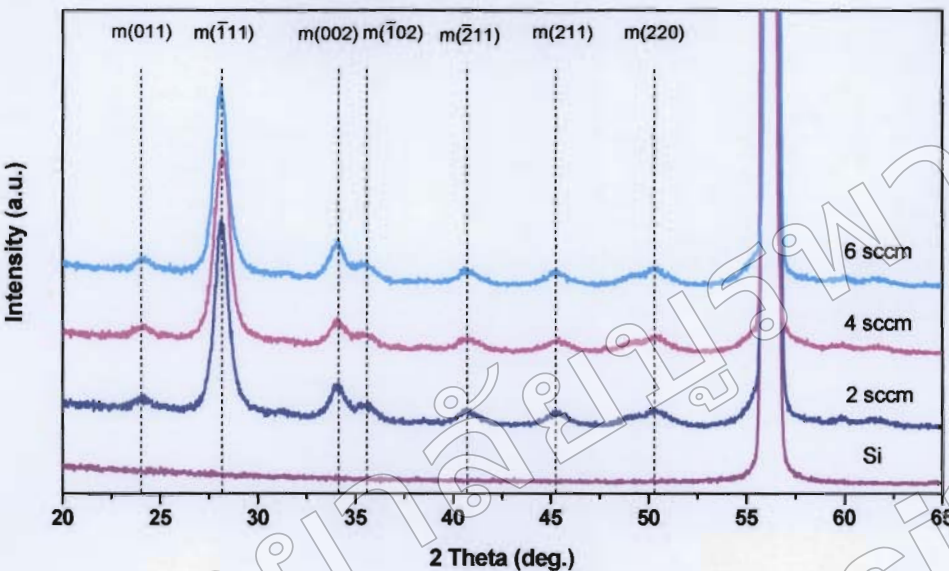
ผลของอัตราไหลแก๊สออกซิเจน

ส่วนนี้จะเป็นการเสนอผลการศึกษาโครงสร้างของฟิล์มบางเชอร์โโคเนียมออกไซด์ที่เคลือบด้วยวิธีรีแอคติฟ ดีซี เมกนิตรอน สปีตเตอริง โดยแปรค่าอัตราไหลแก๊สออกซิเจนขณะเคลือบต่าง ๆ เพื่อศึกษาผลของอัตราไหลแก๊สออกซิเจนต่อโครงสร้างของฟิล์มบางเชอร์โโคเนียมออกไซด์ สำหรับโครงสร้างของฟิล์มบางเชอร์โโคเนียมออกไซด์ที่ศึกษาประกอบด้วยโครงสร้างผลึก ค่าคงที่เดตทิช ขนาดผลึก ความหนา และลักษณะพื้นผิวฟิล์มบางเชอร์โโคเนียมออกไซด์ ซึ่งมีรายละเอียดดังนี้

1. โครงสร้างของฟิล์มบางเชอร์โโคเนียมออกไซด์

ฟิล์มบางเชอร์โโคเนียมออกไซด์เคลือบด้วยวิธีรีแอคติฟ ดีซี เมกนิตรอน สปีตเตอริง โดยกำหนดให้อัตราไหลแก๊สอาร์กอนคงที่เท่ากับ 1 sccm และแปรค่าอัตราไหลแก๊สออกซิเจนเท่ากับ 2 sccm , 4 sccm และ 6 sccm ตามลำดับ มีผลดังนี้

ภาพที่ 4-1 แสดงรูปแบบการเลี้ยวเบนรังสีเอกซ์จากเทคนิค XRD ของฟิล์มบางเชอร์โโคเนียมออกไซด์ที่เคลือบได้โดยแปรค่าอัตราไหลออกซิเจนต่าง ๆ พนวจฟิล์มที่เคลือบได้ทั้งหมดมีรูปแบบการเลี้ยวเบนรังสีเอกซ์เหมือนกันทุกเงื่อนไข โดยพบรูปแบบการเลี้ยวเบนรังสีเอกซ์ที่มุม 24.05° , 28.17° , 34.14° , 35.88° , 40.70° , 45.49° และ 50.09° ซึ่งตรงกับรูปแบบการเลี้ยวเบนรังสีเอกซ์ของสารประกอบเชอร์โโคเนียมออกไซด์ตามมาตรฐาน JCPDS เลขที่ 78-1807 ที่มีโครงสร้างผลึกแบบโมโนคลินิก ระยะ (011), ($\bar{1}11$), (002), ($\bar{1}02$), ($\bar{2}11$), (211) และ (220) ตามลำดับ โดยที่มุม 28.17° มีความเข้มของพีคสูงสุด ส่วนรูปแบบการเลี้ยวเบนรังสีเอกซ์ที่มุม 56.5° เป็นชาตุซิลิกอน ที่ใช้เป็นวัสดุรองรับ



ภาพที่ 4-1 รูปแบบการเลี้ยงบนรังสีเอกซ์ของฟิล์มบางเชอร์โโคเนียมออกไซด์ที่อัตราไหหลแก๊สออกซิเจนต่าง ๆ

ค่าคงที่แล็ตทิชของฟิล์มบางเชอร์โโคเนียมออกไซด์ หาได้จากสูตรการคำนวณหาระยะห่างระหว่างระนาบผลึกในระบบผลึกที่มีโครงสร้างแบบโมโนคลินิก เนื่องจากฟิล์มบางเชอร์โโคเนียมออกไซด์ที่เคลือบได้มีโครงสร้างผลึกแบบโมโนคลินิก โดยอาศัยรูปแบบการเลี้ยงบนรังสีเอกซ์ของฟิล์มบางที่ได้พบว่าฟิล์มบางที่เคลือบโดยแบปรค่าอัตราไหหลแก๊สออกซิเจน มีค่าคงที่แล็ตทิชตรงตามมาตรฐาน JCPDS เลขที่ 78-1807 ดังแสดงในตารางที่ 4-1

สำหรับขนาดผลึกของฟิล์มบางเชอร์โโคเนียมออกไซด์นั้นหาได้จาก Scherrer equation โดยอาศัยรูปแบบการเลี้ยงบนรังสีเอกซ์ของฟิล์มบางที่ได้พบว่าฟิล์มบางที่เคลือบโดยแบปรค่าอัตราไหหลแก๊สออกซิเจน ผลึกมีขนาดใกล้เคียงกัน โดยมีค่าในช่วง 20.10 nm ถึง 20.48 nm ดังแสดงในตารางที่ 4-2

ตารางที่ 4-1 ค่าคงที่แลตทิชของฟิล์มบางเชอร์โคเนียมออกไซด์ที่อัตราไหหลแก๊สออกซิเจนต่าง ๆ

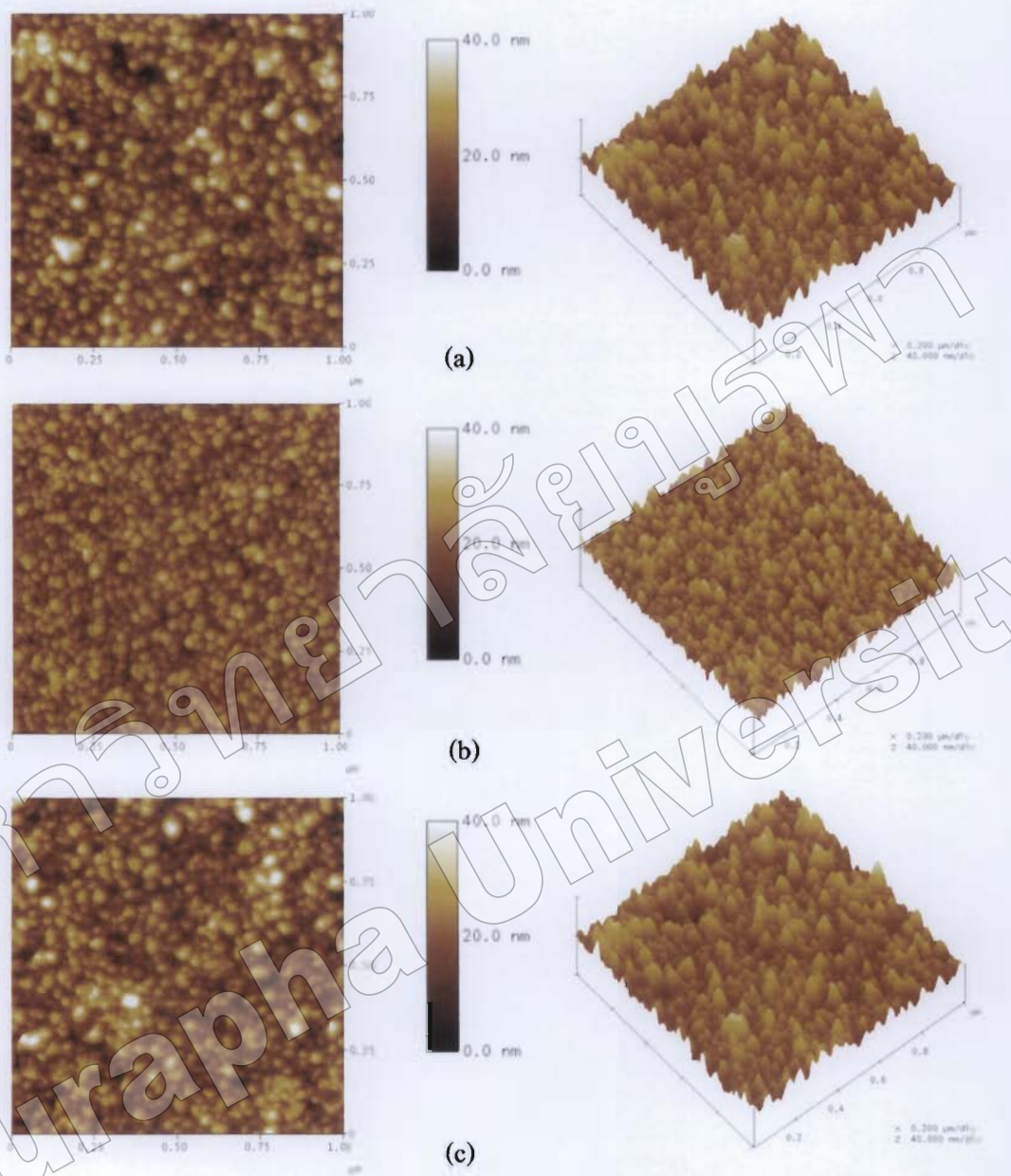
อัตราไหหลแก๊ส ออกซิเจน (sccm)	a (Å)	b (Å)	c (Å)	β (องศา)
JCPDS (78-1807)	5.15	5.211	5.317	99.23
2	5.062	5.192	5.345	100.486
4	5.061	5.171	5.339	100.195
6	5.102	5.164	5.342	100.37

ตารางที่ 4-2 ขนาดผลึกของฟิล์มบางเชอร์โคเนียมออกไซด์ที่อัตราไหหลแก๊สออกซิเจนต่าง ๆ

อัตราไหหลแก๊สออกซิเจน (sccm)	ขนาดผลึก (nm)	
	ZrO_2 m ($\bar{1}11$)	ZrO_2 m (002)
2	20.48	20.91
4	20.10	20.78
6	20.22	20.77

2. ความหนา และลักษณะพื้นผิวของฟิล์มบางเชอร์โคเนียมออกไซด์

ภาพที่ 4-2 แสดงลักษณะพื้นผิวแบบ 2 มิติ และ 3 มิติ ของฟิล์มเชอร์โคเนียมออกไซด์เคลือบที่อัตราไหหลแก๊สออกซิเจนต่าง ๆ จากเทคนิค AFM พบว่าที่พิวหน้าของฟิล์มมีกรนลักษณะเป็นแท่งปลาຍແղນ เล็ก มีขนาดไม่เท่ากันกระจายอยู่ทั่วพื้นผิวของฟิล์ม เช่นเดียวกันทุกเงื่อนไข สำหรับความหนา และความหยาบผิวของฟิล์มพบว่าเมื่อเพิ่มอัตราไหหลแก๊สออกซิเจนจาก 2 sccm เป็น 4 sccm (เมื่ออัตราไหหลแก๊สสาร์กอนคงที่เท่ากับ 1 sccm) ฟิล์มที่เคลือบได้มีความหนา และความหยาบผิวลดลง และเพิ่มขึ้นเมื่ออัตราไหหลแก๊สออกซิเจนเพิ่มเป็น 6 sccm ดังแสดงในตารางที่ 4-3

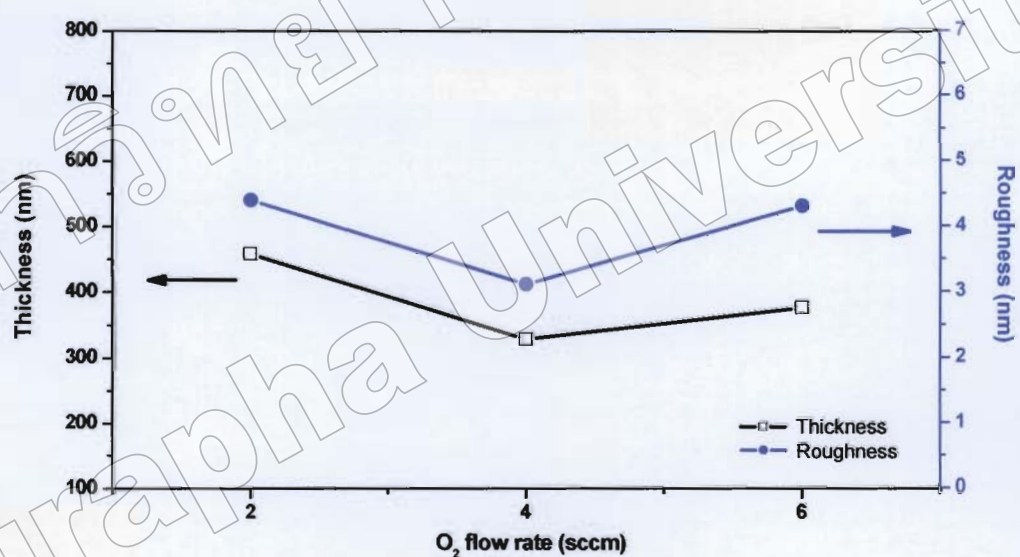


ภาพที่ 4-2 ลักษณะพื้นผิวแบบ 2 มิติ และ 3 มิติ ของฟิล์มบางช่อร์โโคเนียมออกไซด์ที่วิเคราะห์ด้วยเทคนิค AFM

- (a) อัตราไหլแก๊สออกซิเจนเท่ากับ 2 sccm
- (b) อัตราไหลแก๊สออกซิเจนเท่ากับ 4 sccm
- (c) อัตราไหลแก๊สออกซิเจนเท่ากับ 6 sccm

ตารางที่ 4-3 ความหนา และความหยาบผิวของฟิล์มบางเชอร์โคเนียมออกไซด์ที่อัตราไอลแก๊สออกซิเจนต่าง ๆ

อัตราไอลแก๊สออกซิเจน (sccm)	ความหนา (nm)	ความหยาบผิว (nm)
2	458	4.4
4	328	3.1
6	376	4.3



ภาพที่ 4-3 ความหนาและความหยาบผิวของฟิล์มบางเชอร์โคเนียมออกไซด์ที่อัตราไอลแก๊สออกซิเจนต่าง ๆ

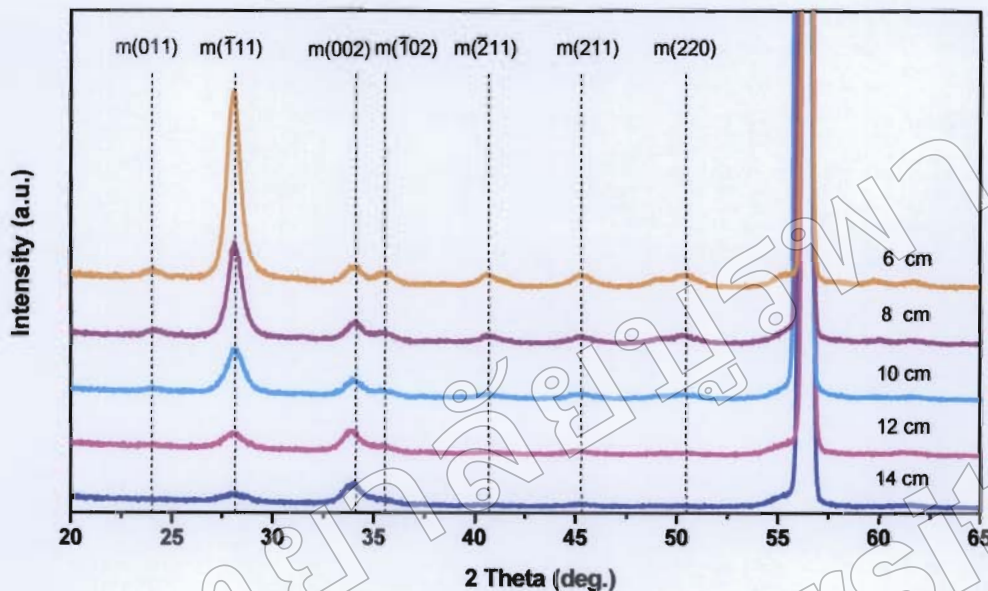
ผลของระยะห่างระหว่างเป้าสารเคลือบกับวัสดุรองรับ

ส่วนนี้จะเป็นการเสนอผลการศึกษาโครงสร้างของฟิล์มบางชีวอร์โโคเนียมออกไซด์ที่เคลือบด้วยวิธี รีแอคติฟ ดีซี แมกนีตรอน สปีตเตอริง โดยกำหนดให้อัตราส่วนแก๊สสาร์กอนต่อแก๊สออกซิเจนคงที่เท่ากับ $1 \text{ sccm} : 6 \text{ sccm}$ และแปรค่าระยะห่างระหว่างเป้าสารเคลือบกับวัสดุรองรับต่างๆ เพื่อศึกษาผลของระยะห่างระหว่างเป้าสารเคลือบกับวัสดุรองรับต่อโครงสร้างของฟิล์มบางชีวอร์โโคเนียมออกไซด์ สำหรับโครงสร้างของฟิล์มบางชีวอร์โโคเนียมออกไซด์ที่ศึกษาประกอบด้วยโครงสร้างผลึก ค่าคงที่เดตทิช ขนาดผลึก ความหนา และลักษณะพื้นผิวฟิล์มบางชีวอร์โโคเนียมออกไซด์ ซึ่งมีรายละเอียดดังนี้

1. โครงสร้างของฟิล์มบางชีวอร์โโคเนียมออกไซด์

ฟิล์มบางชีวอร์โโคเนียมออกไซด์เคลือบด้วยวิธี รีแอคติฟ ดีซี แมกนีตรอน สปีตเตอริง โดยแปรค่าระยะห่างระหว่างเป้าสารเคลือบกับวัสดุรองรับเท่ากับ $6 \text{ cm}, 8 \text{ cm}, 10 \text{ cm}, 12 \text{ cm}$ และ 14 cm ตามลำดับ มีผลดังนี้

ภาพที่ 4-4 แสดงรูปแบบการเลี้ยวเบนรังสีเอกซ์ของฟิล์มบางชีวอร์โโคเนียมออกไซด์ที่เคลือบโดยแปรค่าระยะห่างระหว่างเป้าสารเคลือบกับวัสดุรองรับต่างๆ พบว่าฟิล์มที่เคลือบได้ทั้งหมดมีรูปแบบการเลี้ยวเบนรังสีเอกซ์ที่มุ่ง $24.05^\circ, 28.17^\circ, 34.14^\circ, 35.88^\circ, 40.70^\circ, 45.49^\circ$ และ 50.09° ซึ่งตรงกับรูปแบบการเลี้ยวเบนรังสีเอกซ์ของสารประกอบเชอร์โโคเนียมออกไซด์ ตามมาตรฐาน JCPDS เลขที่ 78-1807 ที่มีโครงสร้างผลึกแบบโมโนคลินิก ระนาบ $(011), (\bar{1}11), (002), (\bar{1}02), (\bar{2}11), (211)$ และ (220) ตามลำดับ โดยพบว่าเมื่อใช้ระยะห่างระหว่างเป้าสารเคลือบกับวัสดุรองรับเพิ่มขึ้น ฟิล์มบางชีวอร์โโคเนียมออกไซด์ที่มีโครงสร้างผลึกแบบโมโนคลินิก ระนาบ $(\bar{1}11)$ มีความเข้มการเลี้ยวเบนรังสีเอกซ์ลดลง ส่วนรูปแบบการเลี้ยวเบนรังสีเอกซ์ที่มุ่ง 56.5° เป็นชาตุชิลกอน ที่ใช้เป็นวัสดุรองรับ



ภาพที่ 4-4 รูปแบบการเดี่ยวบนรังสีเอกซ์ของฟิล์มนางเซอร์โคเนียมออกไซด์ที่ระยะห่างระหว่างเป้าสารเคลื่อนกับวัสดุรองรับต่างๆ

ค่าคงที่แลตทิชของฟิล์มนางเซอร์โคเนียมออกไซด์ หาได้จากสูตรการคำนวณหาระยะห่างระหว่างระนาบผลึกในระบบผลึกแบบโมโนคลินิก เนื่องจากฟิล์มนางเซอร์โคเนียมออกไซด์ที่เคลื่อนได้มีโครงสร้างผลึกแบบโมโนคลินิก โดยอาศัยรูปแบบการเดี่ยวบนรังสีเอกซ์ของฟิล์มนางที่ได้พนวาน้ำฟิล์มนางที่เคลื่อนโดยแปรค่าระยะห่างระหว่างเป้าสารเคลื่อนกับวัสดุรองรับ มีค่าคงที่แลตทิชตามมาตรฐาน JCPDS เลขที่ 78-1807 ดังแสดงในตารางที่ 4-4

สำหรับขนาดผลึกของฟิล์มนางเซอร์โคเนียมออกไซด์นั้นหาได้จาก Scherrer equation โดยอาศัยรูปแบบการเดี่ยวบนรังสีเอกซ์ของฟิล์มนางที่ได้พนวาน้ำฟิล์มนางที่เคลื่อนโดยแปรค่าระยะห่างระหว่างเป้าสารเคลื่อนกับวัสดุรองรับ ขนาดผลึกเพิ่มขึ้นตามความเข้มการเดี่ยวบนรังสีเอกซ์ โดยมีค่าในช่วง 17.42 nm ถึง 22.43 nm ดังแสดงในตารางที่ 4-5

ตารางที่ 4-4 ค่าคงที่แลตทิซของพิล์มบางเชอร์โคเนี่ยมออกไซด์ที่ระยะห่างระหว่างเป้าสารเคลือบกับวัสดุรองรับต่าง ๆ

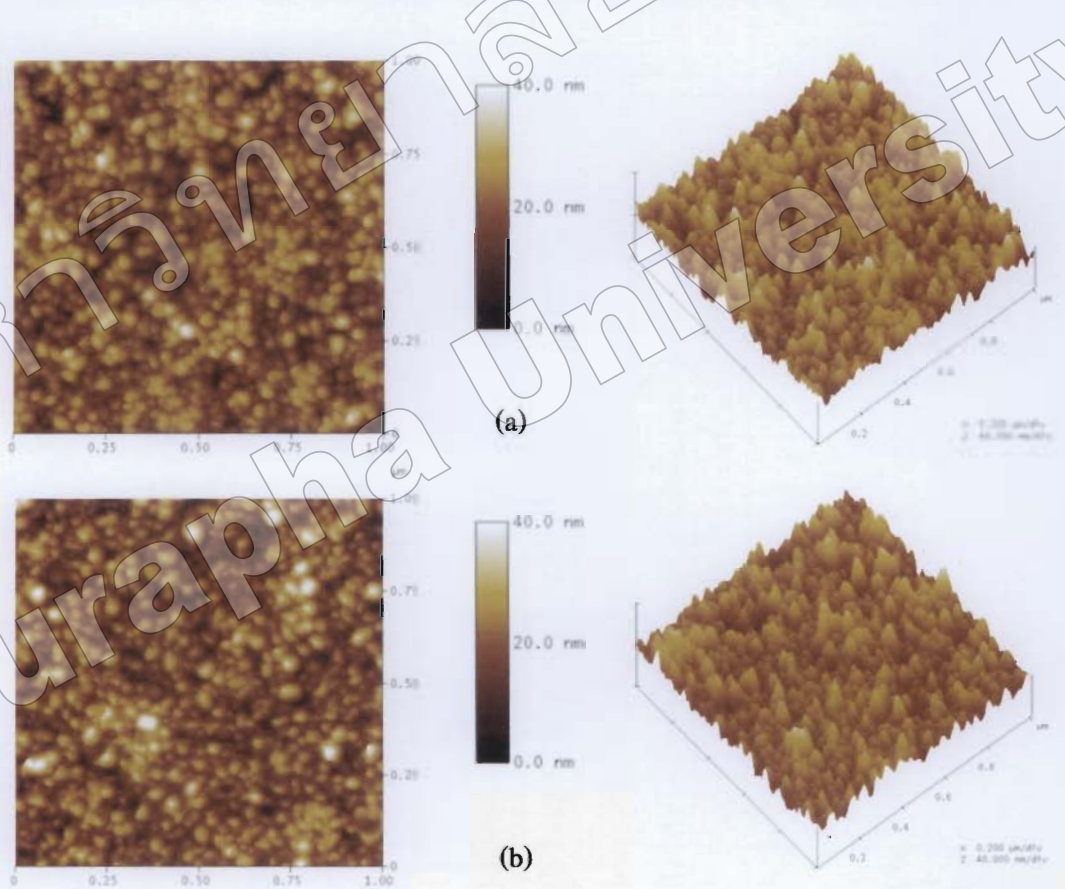
ระยะห่างระหว่าง เป้าสารเคลือบกับ ^{วัสดุรองรับ (cm)}		<i>a</i> (Å)	<i>b</i> (Å)	<i>c</i> (Å)	β (องศา)
JCPDS (78-1807)		5.15	5.211	5.317	99.23
6	5.124	5.199	5.348	99.788	
8	5.102	5.164	5.342	100.370	
10	5.085	5.164	5.358	100.370	
12	5.218	5.143	5.358	99.439	
14	5.124	5.157	5.354	100.137	

ตารางที่ 4-5 ขนาดผลึกของพิล์มบางเชอร์โคเนี่ยมออกไซด์ที่ระยะห่างระหว่างเป้าสารเคลือบกับวัสดุรองรับต่าง ๆ

ระยะห่างระหว่างเป้าสารเคลือบ กับวัสดุรองรับ (cm)	ขนาดผลึก (nm)	
	ZrO_2 m (111)	ZrO_2 m (002)
6	22.43	20.46
8	20.22	20.77
10	19.43	20.27
12	18.12	21.03
14	17.42	19.32

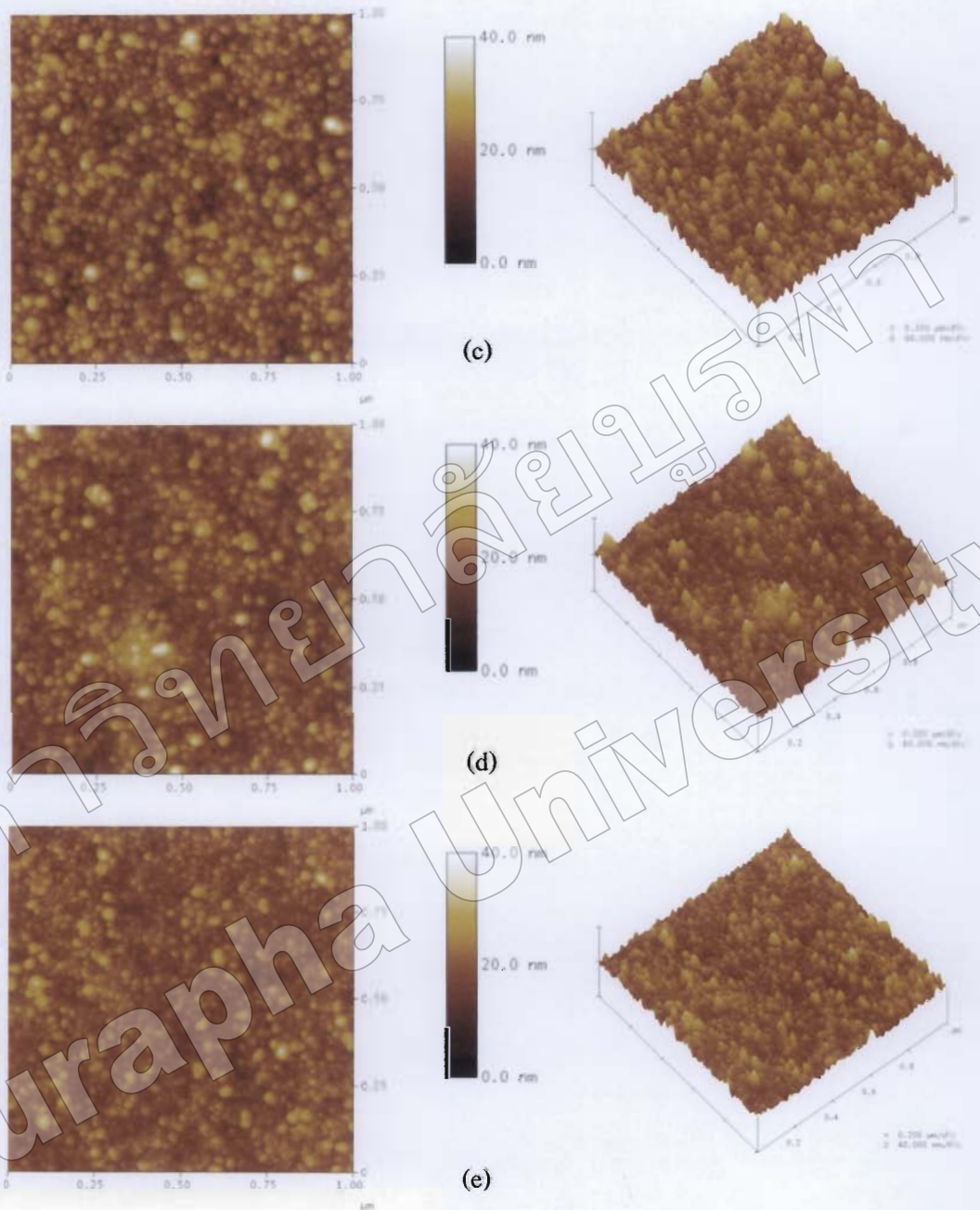
2. ความหนา และลักษณะพื้นผิวของฟิล์มบางชีโร่โคเนี่ยมออกไซด์

ภาพที่ 4-5 แสดงลักษณะพื้นผิวแบบ 2 มิติ และ 3 มิติ ของฟิล์มบางชีโร่โคเนี่ยมออกไซด์ ที่ระยะห่างระหว่างเป้าสารเคลือบกับวัสดุรองรับต่าง ๆ จากเทคนิค AFM พบว่า ที่ระยะห่างระหว่าง เป้าสารเคลือบกับวัสดุรองรับเพิ่มขึ้น ผิวน้ำของฟิล์มนี้เกรนลักษณะเป็นแท่งปลาญแผลม เล็ก มีขนาดไม่เท่ากันกระจายอยู่ทั่วพื้นผิวของฟิล์ม และเกรนมีขนาดเพิ่มขึ้น เมื่อระยะห่างระหว่างเป้าสารเคลือบกับวัสดุรองรับลดลง สำหรับความหนา และความหมายผิวของฟิล์มพบว่า เมื่อระยะห่างระหว่างเป้าสารเคลือบกับวัสดุรองรับลดลง ฟิล์มที่เคลือบได้มีความหนาเพิ่มขึ้นจาก 170 nm เป็น 618 nm ส่วนความหมายผิวเพิ่มขึ้นจาก 2.1 nm เป็น 4.3 nm และลดลงเป็น 4.0 nm เมื่อระยะห่างระหว่างเป้าสารเคลือบกับวัสดุรองรับเท่ากับ 6 cm ดังแสดงในตารางที่ 4-6



ภาพที่ 4-5 ลักษณะพื้นผิวแบบ 2 มิติ และ 3 มิติ ของฟิล์มบางชีโร่โคเนี่ยมออกไซด์ ที่วิเคราะห์ด้วยเทคนิค AFM

- (a) ระยะห่างระหว่างเป้าสารเคลือบกับวัสดุรองรับเท่ากับ 6 cm
- (b) ระยะห่างระหว่างเป้าสารเคลือบกับวัสดุรองรับเท่ากับ 8 cm

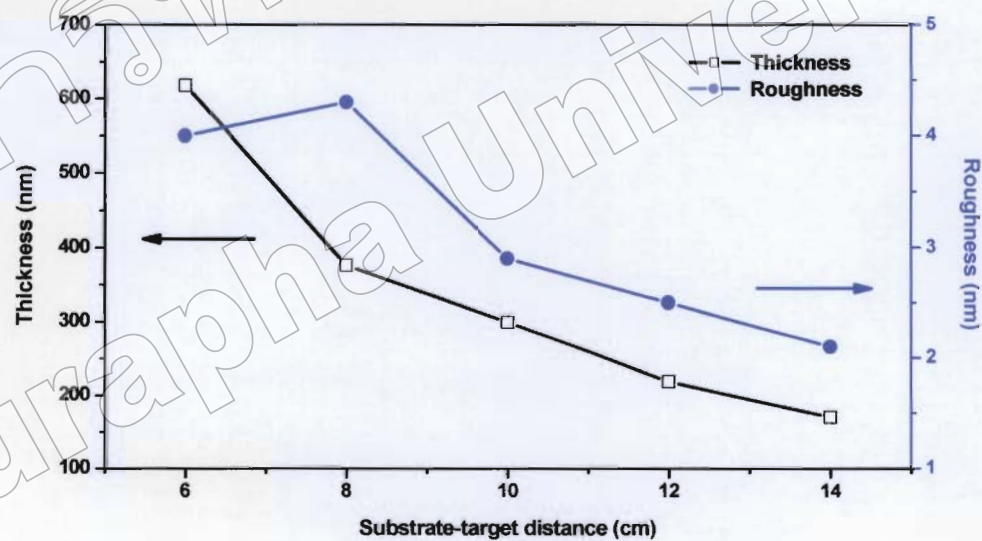


ภาพที่ 4-5 ลักษณะพื้นผิวแบบ 2 มิติ และ 3 มิติ ของฟิล์มบางชอร์โโคเนียมออกไซด์ที่วิเคราะห์ด้วยเทคนิค AFM

- (c) ระยะห่างระหว่างเปลือกเคลือบกับวัสดุรองรับเท่ากับ 10 cm
- (d) ระยะห่างระหว่างเปลือกเคลือบกับวัสดุรองรับเท่ากับ 12 cm
- (e) ระยะห่างระหว่างเปลือกเคลือบกับวัสดุรองรับเท่ากับ 14 cm

ตารางที่ 4-6 ความหนา และความหยาบผิวของฟิล์มบางเชอร์โโคเนียมออกไซด์ ที่ระยะห่างระหว่างสารเคลือบกับวัสดุรองรับต่าง ๆ

ระยะห่างระหว่างเป้าสารเคลือบ กับวัสดุรองรับ (cm)	ความหนา (nm)	ความหยาบผิว (nm)
6	618	4.0
8	376	4.3
10	299	2.9
12	219	2.5
14	170	2.1



ภาพที่ 4-6 ความหนาและความหยาบผิวของฟิล์มบางเชอร์โโคเนียมออกไซด์ ที่ระยะห่างระหว่างเป้าสารเคลือบกับวัสดุรองรับต่าง ๆ

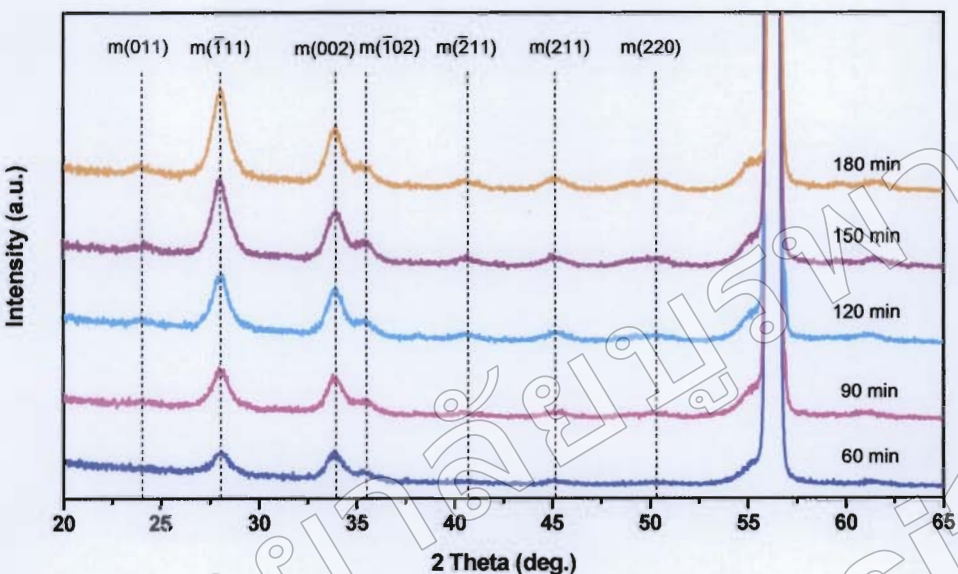
ผลของความหนา

ส่วนนี้จะเป็นการเสนอผลการศึกษาโครงสร้างของฟิล์มบางชีวอร์โโคเนียมออกไซด์ที่เคลือบด้วยวิธีรีแอคติฟ ดีซี แมกนีตรอน สปีตเตอริง โดยกำหนดให้อัตราส่วนแก๊สสาร์กอนต่อแก๊สออกซิเจนคงที่เท่ากับ 1 sccm : 6 sccm ระยะห่างระหว่างเป้าสารเคลือบกับวัสดุรองรับเท่ากับ 10 cm และแปรค่าความหนาจากเวลาเคลือบต่าง ๆ เพื่อศึกษาผลของความหนาต่อโครงสร้างของฟิล์มบางชีวอร์โโคเนียมออกไซด์ สำหรับโครงสร้างของฟิล์มบางชีวอร์โโคเนียมออกไซด์ที่ศึกษาประกอบด้วยโครงสร้างผลึก ค่าคงที่แลตทิช ขนาดผลึก ความหนา และลักษณะพื้นผิวฟิล์มบางชีวอร์โโคเนียมออกไซด์ ซึ่งมีรายละเอียดดังนี้

1. โครงสร้างของฟิล์มบางชีวอร์โโคเนียมออกไซด์

ฟิล์มบางชีวอร์โโคเนียมออกไซด์เคลือบด้วยวิธีรีแอคติฟ ดีซี แมกนีตรอน สปีตเตอริง โดยแปรค่าความหนาจากเวลาเคลือบท่ากัน 60 นาที, 90 นาที, 120 นาที, 150 นาที และ 180 นาที ตามลำดับ มีผลดังนี้

ภาพที่ 4-7 แสดงรูปแบบการเลี้ยวเบนรังสีเอกซ์ของฟิล์มบางชีวอร์โโคเนียมออกไซด์ เมื่อใช้เวลาเคลือบต่าง ๆ พบร่วมกับรูปแบบการเลี้ยวเบนรังสีเอกซ์ที่มุ่ง 24.05°, 28.17°, 34.14°, 35.88°, 40.70°, 45.49° และ 50.09° ซึ่งตรงกับรูปแบบการเลี้ยวเบนรังสีเอกซ์ของสารประกอบชีวอร์โโคเนียมออกไซด์ ตามมาตรฐาน JCPDS เลขที่ 78-1807 ที่มีโครงสร้างผลึกแบบโมโนคลินิก ระนาบ (011), ($\bar{1}11$), (002), ($\bar{1}02$), ($\bar{2}11$), (211) และ (220) ตามลำดับ โดยที่ระนาบ ($\bar{1}11$), (002) มีความเข้มการเลี้ยวเบนรังสีเอกซ์สูง และพบว่าเมื่อใช้เวลาเคลือบนานขึ้น ฟิล์มที่เคลือบได้มีความเข้มการเลี้ยวเบนรังสีเอกซ์เพิ่มขึ้น ส่วนรูปแบบการเลี้ยวเบนรังสีเอกซ์ที่มุ่ง 56.5° เป็นมาตรฐานที่ใช้เป็นวัสดุรองรับ



ภาพที่ 4-7 รูปแบบการเลี้ยงบนรังสีเอกซ์ของฟิล์มบางเชอร์โโคเนียมออกไซด์ที่เวลาเคลือบต่าง ๆ

ค่าคงที่เดตทิชของฟิล์มบางเชอร์โโคเนียมออกไซด์ หาได้จากสูตรการคำนวณหาระยะห่างระหว่างระนาบผลึกในระบบผลึกแบบโมโนคลินิก เมื่อจากฟิล์มบางเชอร์โโคเนียมออกไซด์ที่เคลือบได้มีโครงสร้างผลึกแบบโมโนคลินิก โดยอาศัยรูปแบบการเลี้ยงบนรังสีเอกซ์ของฟิล์มบางที่ได้ พบว่าฟิล์มบางที่เคลือบโดยแปรค่าความหนา มีค่าคงที่เดตทิชตรงตามมาตรฐาน JCPDS เลขที่ 78-1807 ดังแสดงในตารางที่ 4-7

สำหรับขนาดผลึกของฟิล์มบางเชอร์โโคเนียมออกไซด์นั้นหาได้จาก Seherrer equation โดยอาศัยรูปแบบการเลี้ยงบนรังสีเอกซ์ของฟิล์มบางที่ได้ พบว่าฟิล์มบางที่เคลือบโดยแปรค่าความหนา ขนาดผลึกเพิ่มขึ้นตามความเข้มของการเลี้ยงบนรังสีเอกซ์ โดยมีค่าในช่วง 17.81 nm ถึง 20.09 nm ดังแสดงในตารางที่ 4-8

ตารางที่ 4-7 ค่าคงที่เดตทิชของพิล์มบางเซอร์โคเนียมออกไซด์ที่เวลาเคลือบต่าง ๆ

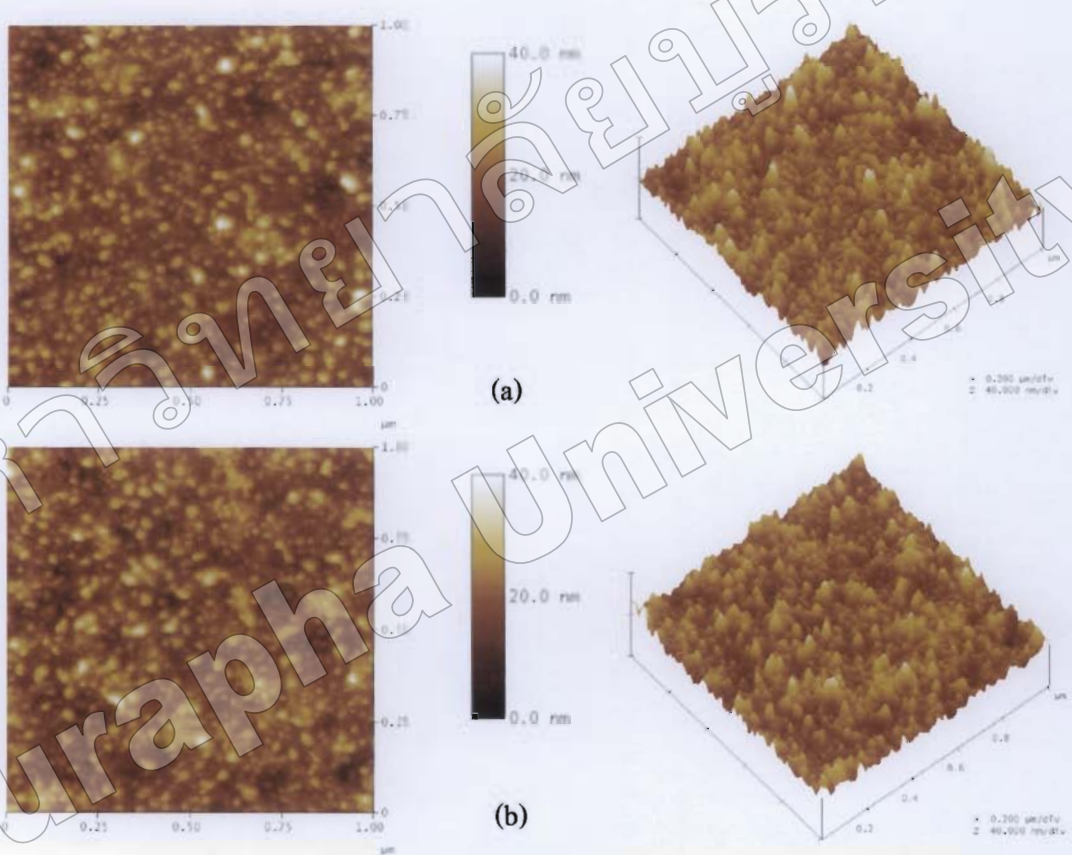
เวลาเคลือบ (min)	a (Å)	b (Å)	c (Å)	β (%)
JCPDS (78-1807)	5.15	5.211	5.317	99.23
60	5.168	5.150	5.366	99.962
90	5.215	5.148	5.348	99.323
120	5.155	5.157	5.359	99.962
150	5.249	5.130	5.346	99.613
180	5.069	5.213	5.364	100.312

ตารางที่ 4-8 ขนาดผลิกลักษณะของพิล์มบางเซอร์โคเนียมออกไซด์ที่เวลาเคลือบต่าง ๆ

เวลาเคลือบ (min)	ขนาดผลิก (nm)	
	ZrO_2 m (111)	ZrO_2 m (002)
60	17.81	17.68
90	18.40	18.06
120	19.04	18.36
150	19.73	19.10
180	20.09	19.85

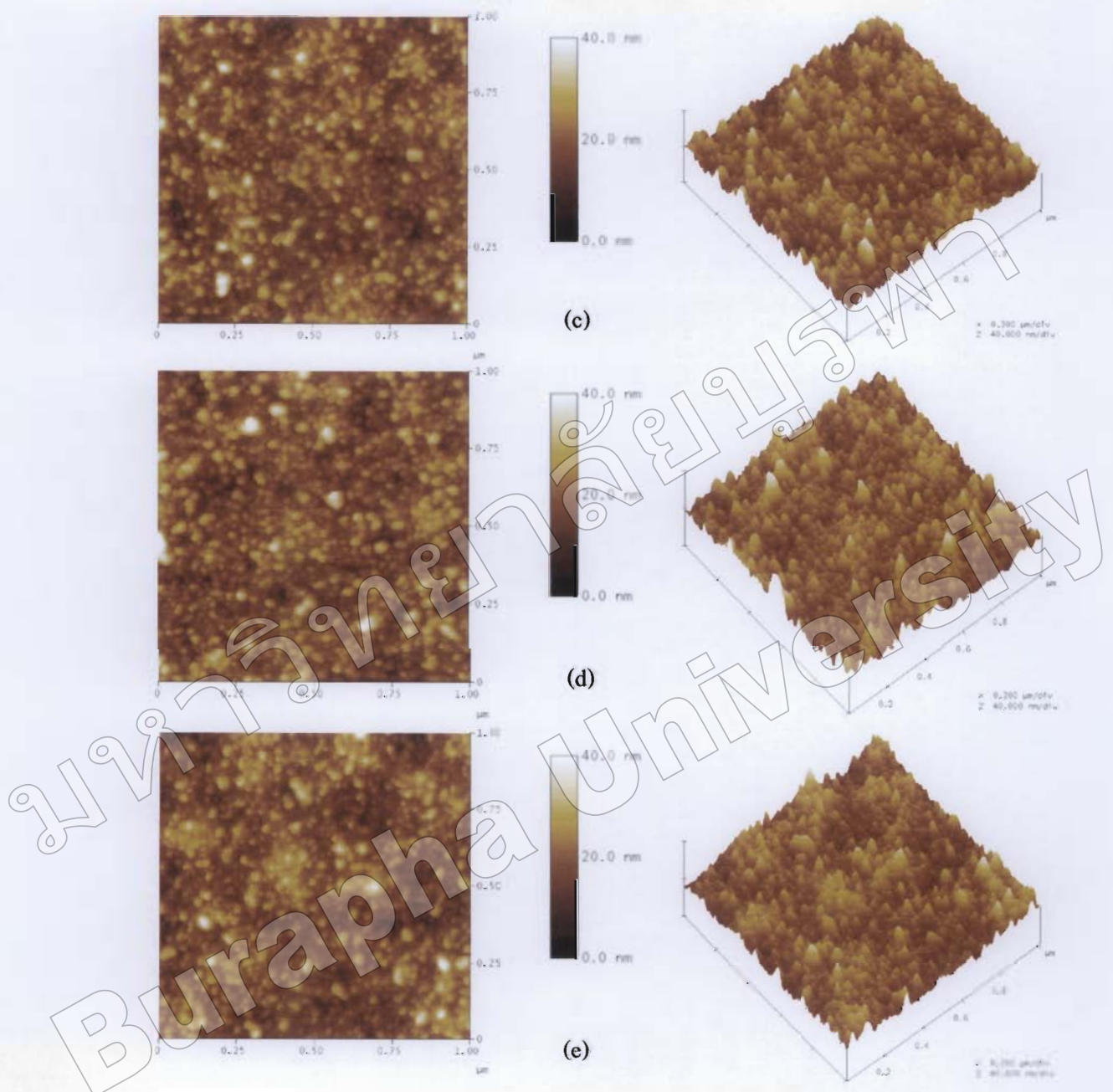
2. ความหนา และลักษณะพื้นผิวของฟิล์มบางเชอร์โโคเนียมออกไซด์

ภาพที่ 4-8 แสดงลักษณะพื้นผิวแบบ 2 มิติ และ 3 มิติ ของฟิล์มบางเชอร์โโคเนียมออกไซด์ที่ความหนาต่าง ๆ จากเทคนิค AFM พบว่าที่ผิวน้ำของฟิล์มเกรนมีลักษณะเป็นแท่งปลายแหลม เล็ก มีขนาดไม่เท่ากันกระจายอยู่ทั่วพื้นผิวของฟิล์ม และเมื่อใช้เวลาในการเคลือบนานขึ้นฟิล์มที่เคลือบได้มีความหนาจาก 155 nm เป็น 502 nm ส่วนความหมายผิวเพิ่มขึ้นเล็กน้อยจาก 3.1 nm เป็น 3.6 nm ดังแสดงในตารางที่ 4-9



ภาพที่ 4-8 ลักษณะพื้นผิวแบบ 2 มิติ และ 3 มิติ ของฟิล์มบางเชอร์โโคเนียมออกไซด์ที่วิเคราะห์ด้วยเทคนิค AFM

- (a) เวลาเคลือบทั้งหมด 60 min
- (b) เวลาเคลือบทั้งหมด 90 min



ภาพที่ 4-8 ลักษณะพื้นผิวแบบ 2 มิติ และ 3 มิติ ของฟิล์มบางเชอร์โโคเนียมออกไซด์ที่วิเคราะห์ด้วยเทคนิค AFM

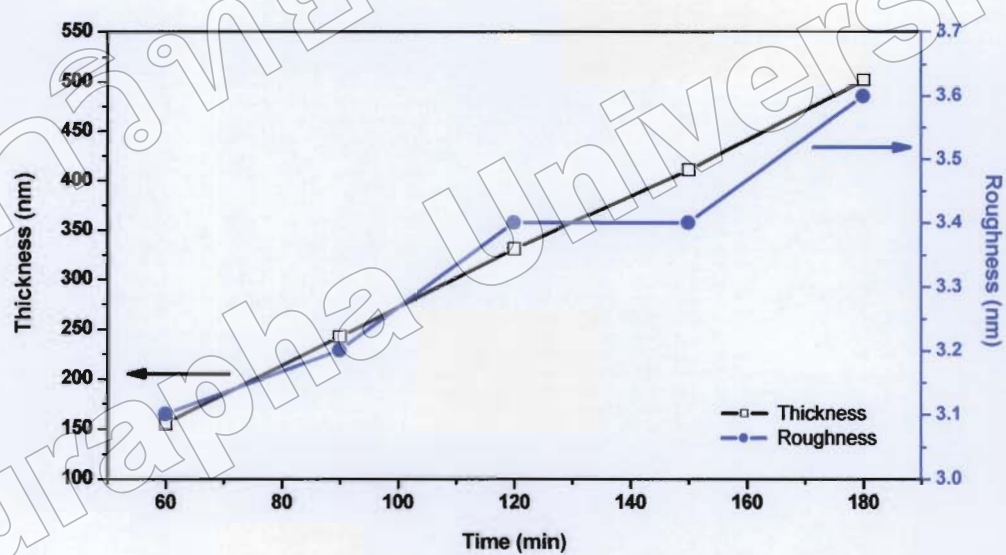
(c) เวลาเคลื่อนเท่ากับ 120 min

(d) เวลาเคลื่อนเท่ากับ 150 min

(e) เวลาเคลื่อนเท่ากับ 180 min

ตารางที่ 4-9 ความหนา และความหยาบผิวของฟิล์มบางเซอร์โคเนียมออกไซด์ที่เวลาเคลือบต่าง ๆ

เวลาเคลือบ (min)	ความหนา (nm)	ความหยาบผิว (nm)
60	155	3.1
90	242	3.2
120	331	3.4
150	411	3.4
180	502	3.6



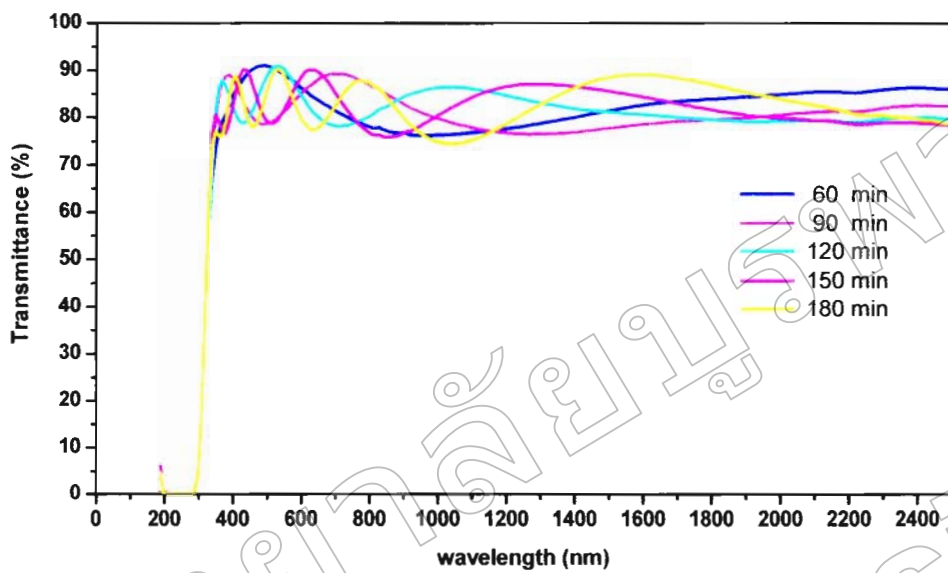
ภาพที่ 4-9 ความหนาและความหยาบผิวของฟิล์มบางเซอร์โคเนียมออกไซด์ที่เวลาเคลือบต่าง ๆ

สมบัติทางแสง และแบบพลังงานของฟิล์มบางเชอร์โโคเนียมออกไซด์

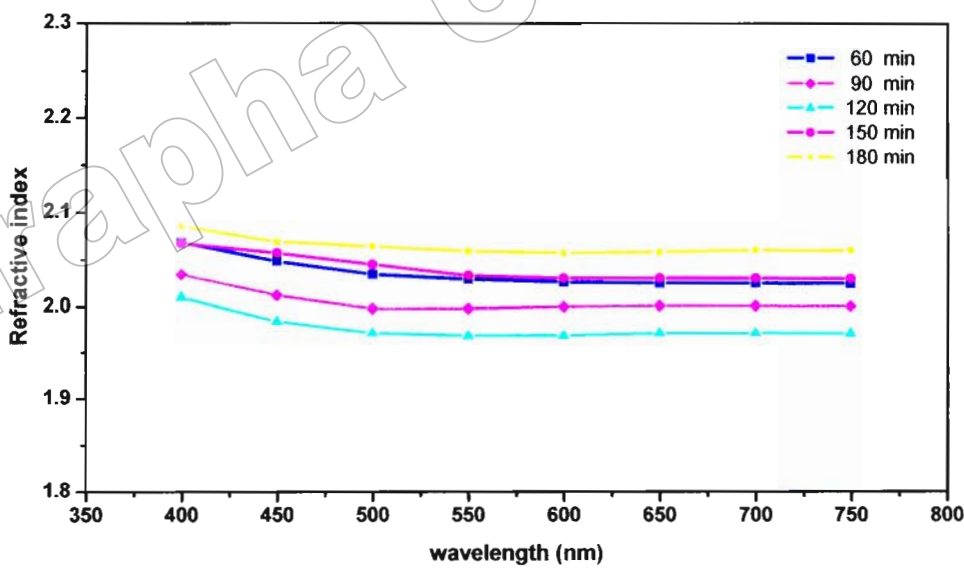
ส่วนนี้จะเป็นการเสนอผลการศึกษาสมบัติทางแสงของฟิล์มบางเชอร์โโคเนียมออกไซด์ที่เคลือบบนกระจกไอล์ด ด้วยวิธี รีแอคตีฟ ดีซี เมกนิตรอน สปัตเตอริ่ง โดยกำหนดให้อัตราส่วนแก๊สอาร์กอนต่อแก๊สออกซิเจนคงที่เท่ากับ 1 sccm : 6 sccm ระยะเวลาห่างระหว่างเป้าสารเคลือบกับวัสดุรองรับเท่ากับ 10 cm และแปรค่าความหนาจากเวลาเคลือบท่อ กับ 60 นาที, 90 นาที, 120 นาที, 150 นาที และ 180 นาที ตามลำดับ เพื่อศึกษาผลของความหนาต่อสมบัติทางแสงของฟิล์มบางเชอร์โโคเนียมออกไซด์ สำหรับสมบัติทางแสงของฟิล์มบางเชอร์โโคเนียมออกไซด์ที่ศึกษาประกอบด้วย ดัชนีหักเห สัมประสิทธิ์การดับสูญ และแผนพลังงาน

1. ดัชนีหักเห และสัมประสิทธิ์การดับสูญของฟิล์มบางเชอร์โโคเนียมออกไซด์

ฟิล์มบางเชอร์โโคเนียมออกไซด์ที่เคลือบ โดยแบรค่าเวลาเคลือบ มีค่าการส่งผ่านแสงสูงทั้งในช่วงตามองเห็นและอินฟราเรดไกล (ภาพที่ 4-10) สำหรับค่าดัชนีหักเห (n) และสัมประสิทธิ์การดับสูญ (k) หาได้จากวิธี Swanepoel โดยใช้ข้อมูลจากสถาปัตยกรรมการส่งผ่านแสงมาคำนวณพบว่าที่ความยาวคลื่นแสง 550 nm ฟิล์มบางเชอร์โโคเนียมออกไซด์ที่เคลือบ โดยแบรค่าเวลาในช่วง 60 นาที ถึง 120 นาที ดัชนีหักเหมีค่าลดลงจาก 2.03 เป็น 1.97 และเมื่อเพิ่มเวลาเคลือบเป็น 150 นาที และ 180 นาที ดัชนีหักเหมีค่าเพิ่มขึ้นเป็น 2.03 และ 2.06 ตามลำดับ (ภาพที่ 4-11) ตัวนค่าสัมประสิทธิ์การดับสูญ เมื่อใช้เวลาเคลือบท่อ กับ 60 นาที สัมประสิทธิ์การดับสูญมีค่าเพิ่มขึ้นเป็น 0.0003 เมื่อใช้เวลาเคลือบท่อ กับ 90 นาที สัมประสิทธิ์การดับสูญมีค่าเพิ่มขึ้นเป็น 0.0013 และลดลงเป็น 0.0006 0.0005 ตามลำดับ และเมื่อใช้เวลาเคลือบท่อ กับ 180 นาที สัมประสิทธิ์การดับสูญ มีค่าเพิ่มขึ้นเป็น 0.0009 (ภาพที่ 4-12)



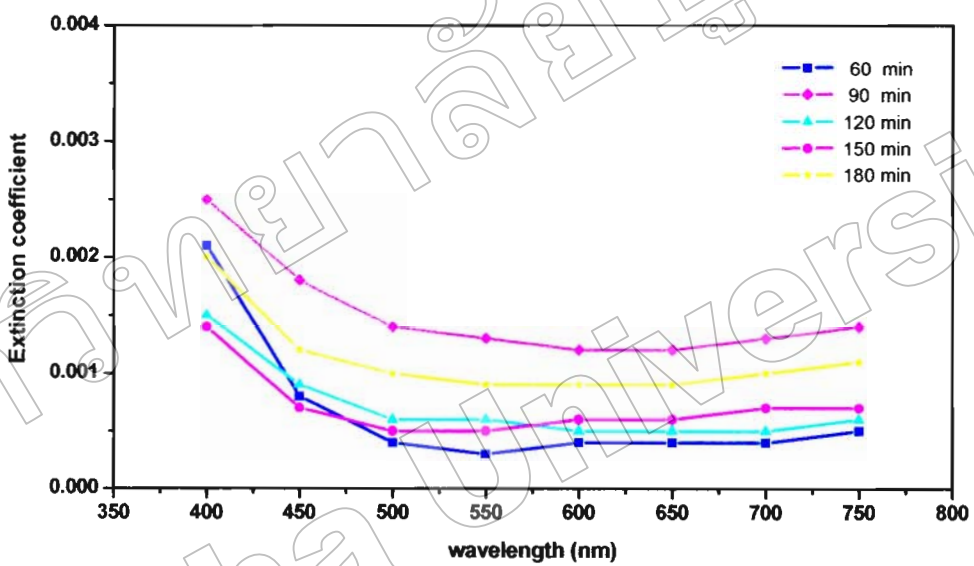
ภาพที่ 4-10 เปอร์เซ็นต์การส่งผ่านแสงของฟิล์มบางเซอร์โคเนียมออกไซด์ที่เวลาเคลือบต่าง ๆ



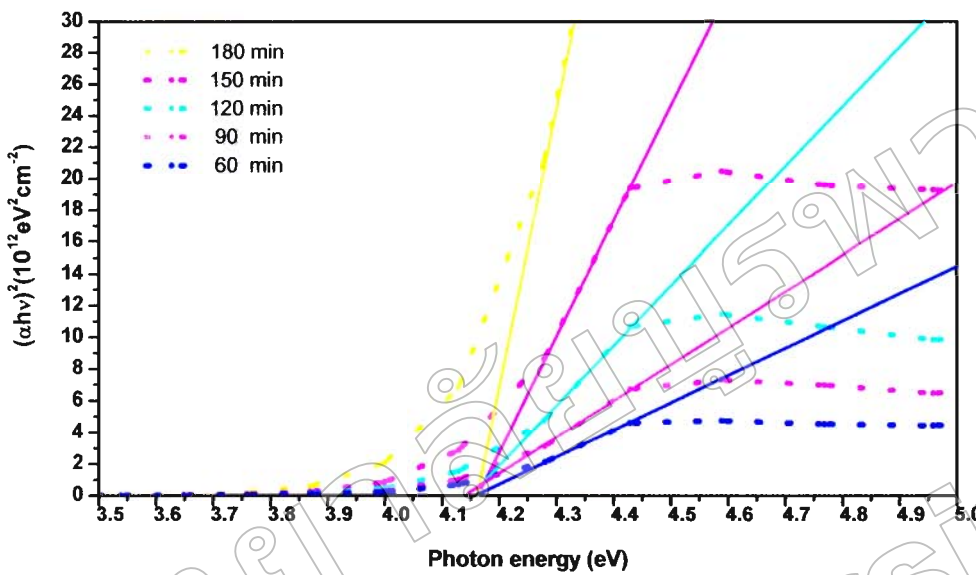
ภาพที่ 4-11 ค่าคงที่ของฟิล์มบางเซอร์โคเนียมออกไซด์เคลือบที่เวลาเคลือบต่าง ๆ

2. แผนพลังงานของฟิล์มบางช่อร์โโคเนี่ยมออกไซด์

ภาพที่ 4-13 แสดงแบบพลังงาน (E_g) ของฟิล์มบางช่อร์โโคเนี่ยมออกไซด์ คำนวณจาก $\alpha(\lambda) = A \sqrt{hv - E_g} / hv$ เมื่อ $p = 2$ (direct optical band gap) (Henri & Jansen, 1991) พบว่าแผนพลังงานของฟิล์มบางช่อร์โโคเนี่ยมออกไซด์ ในงานวิจัยนี้ค่าในช่วง 4.16 - 4.18 eV โดยมีค่าเพิ่มขึ้นเล็กน้อยตามความหนาของฟิล์ม และฟิล์มเคลือบที่เวลา 180 นาที มีแผนพลังงานของฟิล์มบางช่อร์โโคเนี่ยมออกไซด์มีค่าเท่ากับ 4.18 eV



ภาพที่ 4-12 สัมประสิทธิ์การดับสัญญาของฟิล์มบางช่อร์โโคเนี่ยมออกไซด์ที่เวลาเคลือบต่าง ๆ



ภาพที่ 4-13 เม็ดพลังงานของพิล์มบางชอร์โโคเนียมออกไซด์ที่เวลาเคลือบต่าง ๆ